

<논 문>

본 연구는 1995년도 계명대학교 비사연구기금으로 이루어졌음.

CMAC의 S-to-M 변환을 위한 알고리즘

권 성 규*

(1996년 1월 27일 접수)

An Algorithm for S-to-M Mapping in CMAC

Sunggyu Kwon

Key Words: Training(훈련), Table Look-Up(표순람), Mapping(변환), CMAC(Cerebellar Model Articulation Controller)

Abstract

In order to develop an efficient algorithm for S-to-M mapping in CMAC, characteristics of CMAC mappings is studied and conceptual mapping procedure is physically described. Then, careful observations on the mapping procedure and experience reveal a simple algorithm of the S-to-M mapping. The algorithm is described and compared with other procedures for S-to-M mapping. It is found very efficient in terms of computational operations and processing time.

기 호 설 명

- S_i : i 번째 입력변수
- S : 입력벡터
- N : 입력공간의 차원(입력벡터를 구성하는 입력 변수의 개수)
- r_i : i 번째 입력변수의 해상도
- K : 한 입력변수에 대한 중간변수의 개수
- S_{in} : S_i 의 n 번째 입력변수 위치값
- ${}^i m_K$: i 번째 입력변수에 대한 K 번째 중간변수축
- ${}^i m_{K1}$: ${}^i m_K$ 의 1번째 마다
- ${}^i N_K$: ${}^i m_K$ 를 분할한 마다의 개수

1. 서 론

Albus, J.S.는 1975년 CMAC(cerebellar model articulation controller)을 제안하면서, 로봇 팔의 제어에 CMAC을 이용하였다.⁽¹⁾ 그 이후 컴퓨터비전(computer vision)⁽²⁾이나 공정자동화 시스템 개발에 이용된 예도 있지만, CMAC이 이용된 대부분

의 연구는 매니플레이터의 제어에 관한 것들이었다.⁽³⁻⁵⁾ CMAC의 응용분야가 넓어지고 다양한 연구 결과가 발표되면서,⁽⁶⁻¹⁰⁾ CMAC 훈련의 문제점을 인식하게 되고,⁽¹¹⁾ CMAC의 훈련을 위한 방법들이 제안되었다.^(12,13) 최근에는, CMAC의 변환 알고리즘, 훈련 및 여러 매개변수들이 CMAC의 성능에 미치는 영향 등이 여러 연구들에서 보고되고 있다.^(14,15)

CMAC을 이용하는 제어에서는, 제어계의 동특성을 분석하여 그 수학적 모델을 나타내는 복잡한 수식을 푸는 방법이 아니라, 제어가 담당할 제어함수를 미리 기억표(memory table)에 심어 두었다가, 실제의 작업상황에서는 그 제어 상태가 기억표의 어느 곳에 해당하는지를 계산하여 그곳에 기억된 제어함수 값들의 산술합을 제어기의 출력값으로 내놓는다. 그렇기 때문에, CMAC을 이용하는 제어방법에서는, CMAC이 그 기억표에 제어함수를 저장할 수 있게 하는 훈련을 어떻게 할 것인가가 중요한 문제중의 하나이다. 물론, 훈련상태나 제어상태에 따라 제어 함수값을 어디에 저장하고

*회원, 계명대학교 기계설계학과

어디서 불러내는지는 CMAC에서 일련의 변환(mapping) 과정에 의해 정의되어 있다. 그 일련의 변환 과정은, 연속적인 입력변수를 적절한 해상도로 불연속화하고, 입력벡터를 한 무리의 CMAC 중간변수벡터로 변환한다. 결국 연속적인 변수를 불연속화된 변수로 또 중간변수벡터로 변환하는 것이다.

훈련뿐 아니라 제어기로서 작동할 때에도, CMAC의 입력정보나 출력정보는 항상 CMAC의 정의에 따른 일련의 변환과정을 거치게 된다. 비록 CMAC이 Look-Up Table 방식에 의한 제어기라고 하나, 변환과정에서 정보의 흐름이 지체되거나 오차가 발생한다면, 훈련이나 제어시간의 엄청난 지연을 넘어, CMAC이 잘못 설계될 수도 있다.

이 연구에서는, CMAC의 변환과정을 이해하고, 그 과정을 물리적으로 기술하여, CMAC 변환과정을 관찰한다. 그리고, 변환과정중 첫번째 단계인 S-to-M 변환의 단순한 변환규칙을 발견하여, 그 규칙에 대한 알고리즘을 제시하고, CMAC에서의 입·출력 흐름의 가속화를 통한 CMAC의 훈련 및 제어성능 향상을 목표로 한다.

2. CMAC에서의 변환

CMAC은 세 단계의 연속된 변환(Figs. 1~3)으로 정의된다. 이 논문에서는, 변환을 위한 계산 알고리즘을 설명하는데 도움이 되도록 변환과정을 물리적으로 묘사하기 위해 노력하였다.

먼저 S → M 변환(SM변환), N개의 연속적인 입력변수로 구성된 입력벡터(S)는 CMAC에서 각 입력변수에 해당하는 N개의 입력변수축(S_i)들로 구성되는 N차원 입력공간(receptive fields,⁽¹⁰⁾ 벡터공간, S)에서 정의된다. S=(S₁, S₂, ..., S_N), 각 입력변수축은 CMAC을 설계할 때 적당한 해상도(resolution), r_i에 따라 불연속화(不連續化)되기 때문에, 입력변수축은 입력변수값 범위, 즉 입력변수축의 크기를 해상도로 나눈 수만큼의 마디(knot)⁽¹⁴⁾로 분할된다. 그에 따라 입력공간은 유한한 수의 입력점들로 구성된다.

CMAC에서는 각 입력변수가 K개의 중간변수로 변환되므로, 각 입력변수축은 K개의 중간변수축(quantizing function)⁽¹⁾으로 변환된다. Fig. 1은 2차원 입력공간이 K=4로 SM변환되는 개략도이다. 이 K개의 중간변수축들은 K개의 변환 층(level)으로 구분된다고 간주한다. 각 중간변수축도 불연속화되는데, 중간변수축의 해상도(quantizing interval)는 r_i의 K배로 정의된다. 같은 입력변수축에 대한 K개의 중간변수축들은 서로 입력변수축의 해상도만큼 전위(offset)되어 있다. 그래서, 해상도에 따라, 같은 입력변수축에 대한 K개의 중간변수축들이 분할된 마디의 개수는 보통 서로 다르다.

$$M = ({}^1m_1, {}^1m_2, \dots, {}^1m_K),$$

$$({}^2m_1, {}^2m_2, \dots, {}^2m_K),$$

$$\dots,$$

$$({}^Nm_1, {}^Nm_2, \dots, {}^Nm_K)$$

$$S \rightarrow M : S_i \rightarrow ({}^im_1, {}^im_2, \dots, {}^im_K)$$

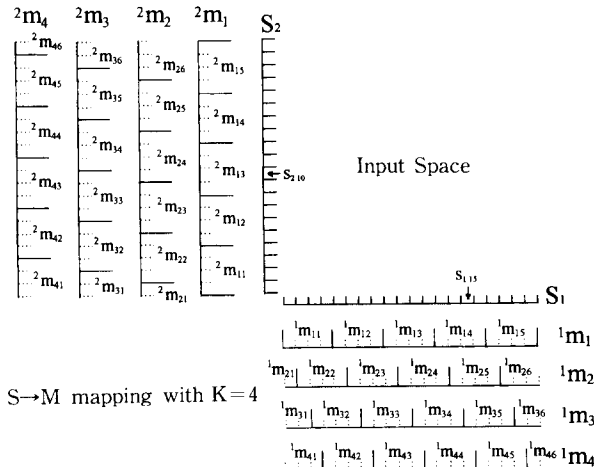


Fig. 1 S → M mapping with K=4 of a two-dimensional input space

여기서, S_i 는 i 번째 입력변수축, m_k 는 S_i 에 대한 K 번째 중간변수축.

다음은, $M \rightarrow A$ 변환(MA변환)인데, A 공간은 바로 기억공간이다. 전 단계의 변환에서 정해진, 각 입력변수에 대한 K 개의 중간변수축들 중에서, 변환 층이 같은 중간변수축들에 의해, 입력공간과 같은 차원의 기억공간이 구축된다. 그러므로, K 개의 변환 층에 의해 구축된 K 개의 기억공간이 있다. Fig. 2는 Fig. 1의 AM변환을 보여준다. 기억공간의 차원은 입력벡터의 차원과 같고, 크기는 각 층별 중간변수축의 크기에 의해 결정된다. 기억공간을 구축하는 각 축의 크기는 중간변수축이 분할된 마디의 개수와 같다. $A=(A_1, A_2, \dots, A_k)$. Fig. 2에서는 $K=4$ 이므로 네 개의 2차원 기억공간이 있다.

$$M \rightarrow A : ({}^1m_j, {}^2m_j, \dots, {}^Nm_j) \rightarrow A_j ({}^1N_j, {}^2N_j, \dots, {}^NN_j)$$

여기서, Nm_j 는 N 번째 입력변수축에 대한 j 번째 중간변수축이고, NN_j 는 Nm_j 를 분할한 마디의 개수이다.

마지막 변환단계인, $A \rightarrow p$ 변환(Ap변환)에서는,

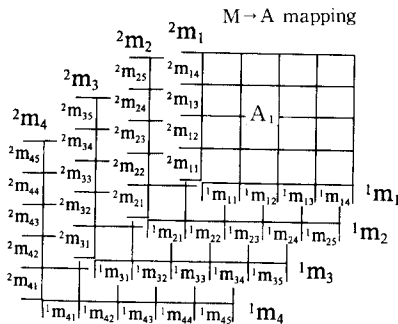


Fig. 2 M to A mapping with K=4

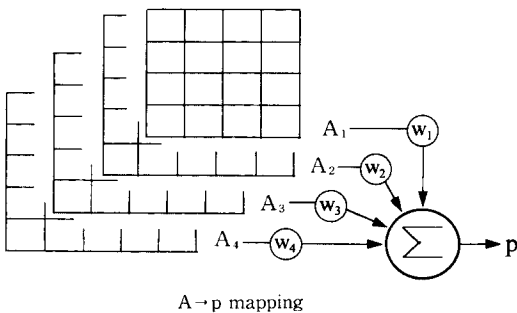


Fig. 3 A to p mapping with K=4

K 개의 기억공간 각각에서 입력벡터에 해당하는 기억장소의 기억값이 복사되고, 그 값들이 더해져 제 어기의 출력값이 된다. $p=w_1+w_2+\dots+w_k$. 여기서, w_k 는, K 번째 기억공간인 A_k 의 어느 번지에서 복사되어 나온 기억값이다. Fig. 3은 Fig. 2의 Ap변환을 보여준다. $K=4$ 이므로 네 개의 기억값이 더해진다.

$$A \rightarrow p : \sum_{j=1}^K w_j = p$$

여기서, w_j 는 A_j 에서 복사되어 나온 기억값이다.

3. 변환규칙

CMAC 설계에 필요한 매개변수들의 값을 결정한 뒤, 제일 먼저 입력변수축을 불연속화한다. 그러면, 한 입력변수값은 불연속화된 입력변수축에서의 위치의 의미로 변환된다. 그 변화를 변환과정에서 나타내는 수단으로써, 그 위치에 어떤 수를 지정하여, 그 수를 입력변수 위치값이라 하자. 그러면, 어떤 입력벡터는 N 개의 입력변수 위치값으로 구성된다. 한 입력변수축에 대한 위치값의 개수는 그 축이 분할된 마디의 개수, 즉 입력변수값 범위가 해상도 r_i 로 나눈 값이다. Fig. 1에서 보면, 2차원 입력공간을 구성하는 두 입력변수축은 각각 해상도 r_1 과 r_2 로, 스무 개씩의 마디로 분할되었다.

이제, 어떤 입력변수값(s_i)에 해당하는 입력변수 위치값을 고려해 보자. 한 입력변수축의 하한보다 크거나 같으며 그 하한에 그 축의 해상도를 더한 값보다는 작은 입력변수값들이, 분할된 첫번째 마디인 첫번째 입력변수 위치값(s_{i1})으로 나타내진다고 하자. 그 입력변수축의 하한과 s_i 의 차이를 해상도만큼 나눈 수가 첫 번째 위치값에 대한 상대적인 위치를 나타내는 수가 된다. 그 수가 n 이면, s_i 에 해당하는 입력변수 위치값은 s_{in} 이다.

입력변수 위치값은, SM변환에 의해, K 개의 중간변수 위치값들로 변환된다. 한 입력변수 위치값이 어떻게 K 개의 중간변수 위치값으로 변환되는지를 살펴보자. 첫 번째 중간변수축에 대해서는, s_i 에 대한 s_{in} 를 찾을 때와 같되 단지 해상도를 $r_i \cdot K$ 로 하면 된다. 두 번째 중간변수축부터는 진위를 고려해야 한다. 두 번째 중간변수축은 첫 번째 축에 대해서 r_1 만큼 입력변수값이 커지는 방향,

양의 방향으로 전위하므로, 첫 마디의 해상도는 입력변수축의 해상도와 같게 하고 나머지 범위에 대해서는 해상도를 $r_i \cdot K$ 로 하면 된다. 세 번째 중간변수축은 두 번째 중간변수축에 대해서 양의 방향으로 입력변수축의 해상도만큼 전위하므로, 첫 번째 마디는 해상도가 r_i 의 두 배가 된다. 이런 방법으로 나머지 중간변수축들에 대해서도 중간변수 위치값을 나타내는 마디로 분할할 수 있다.

한 중간변수축(${}^i m_j$)이 분할되는 마디의 개수(${}^i N_j$)는, 대략 입력변수축의 크기를 $r_i \cdot K$ 로 나눌 수이다. 그러므로, 하나의 중간변수축에서의 위치값의 개수는 입력변수 위치값의 개수에 비해 K 배 정도로 줄어들지만, 그런 중간변수축이 각 입력변수축마다 K 개 있다. Fig. 2에서 첫 번째 입력변수축(S_1)에 대한 네 개의 중간변수축, ${}^1 m_1, {}^1 m_2, {}^1 m_3, {}^1 m_4$ 들은 각각 다섯 개, 여섯 개의 마디로 분할되었다. 그래서, ${}^1 N_1=5, {}^1 N_2=6, {}^1 N_3=6, {}^1 N_4=6$.

Fig. 1에서, 입력벡터 $s=(s_{1-15}, s_{2-10})$ 는 SM변환을 거치면, s_{1-15} 는 $({}^1 m_{14}, {}^1 m_{25}, {}^1 m_{35}, {}^1 m_{44})$, s_{2-10} 은 $({}^2 m_{13}, {}^2 m_{24}, {}^2 m_{33}, {}^2 m_{43})$ 으로 변환되므로, $m=(({}^1 m_{14}, {}^1 m_{25}, {}^1 m_{35}, {}^1 m_{44}), ({}^2 m_{13}, {}^2 m_{24}, {}^2 m_{33}, {}^2 m_{43}))$ 가 된다.

MA변환에서, 각 입력변수축에 대한 K 개의 중간변수축들은, 다른 입력변수축들에 대한 K 개의 중간변수축들 중에서 서로 같은 층의 중간변수축들과 함께 입력공간과 같은 차원의 K 개의 기억공간을 형성한다. 예로, Fig. 1에서, 세 번째 층의 중간변수축들, ${}^1 m_3$ 과 ${}^2 m_3$ 으로, 첫 번째 층(${}^1 m_3$)의 크기는 6이고 두 번째 층(${}^2 m_3$)의 크기는 6인, 2차원 배열의 기억공간 $A_3(6, 6)$ 이 형성된다. 그래서 이 기억공간의 크기는 36이다. (Fig. 2 참고) 또한, 각 중간변수 위치값은 기억공간에서의 기억 장소를 나타내는 번지의 역할을 한다. 앞에서 예들 든 $s=(s_{1-15}, s_{2-10})$ 에 대해서는, $m=(({}^1 m_{14}, {}^1 m_{25}, {}^1 m_{35}, {}^1 m_{44}), ({}^2 m_{13}, {}^2 m_{24}, {}^2 m_{33}, {}^2 m_{43}))$ 이, MA변환에 의해, 기억공간에 대한 번지 $a=(A_1({}^1 m_{14}, {}^2 m_{13}), A_2({}^1 m_{25}, {}^2 m_{24}), A_3({}^1 m_{35}, {}^2 m_{33}), A_4({}^1 m_{44}, {}^2 m_{43}))$ 로 변환된다.

Ap변환에서는, 한 기억공간에서 하나씩 선택된, K 개의 값이 합해져서 출력값이 된다. 위의 예에 대해서, $a=(A_1({}^1 m_{14}, {}^2 m_{13}), A_2({}^1 m_{25}, {}^2 m_{24}), A_3({}^1 m_{35}, {}^2 m_{33}), A_4({}^1 m_{44}, {}^2 m_{43}))$ 가 $p=w_1+w_2+w_3+w_4$ 로 변환되는데, 여기서 $w_1=A_1({}^1 m_{14}, {}^2 m_{13}),$

$$w_2=A_2({}^1 m_{25}, {}^2 m_{24}), w_3=A_3({}^1 m_{35}, {}^2 m_{33}) \text{ 및 } w_4=A_4({}^1 m_{44}, {}^2 m_{43}).$$

4. S → M 변환 계산

지금까지는 SM변환과정을 그림으로 확인하였다. 이제는, 어떤 입력변수값이 중간변수 위치값으로 변환되는 과정, 즉 주어진 어떤 입력변수값이 각 중간변수축의 어느 마디에 해당하는지를 계산하는 문제를 고려해 보자. 이 문제를 단순하게 만드는 알고리즘을 찾아서, 구현하는 계산 공식을 설정하는 것이, 이 연구의 주제이다.

알고리즘을 찾기위해 Fig. 4의 예를 들어 보자. 이 그림에서 입력변수축, S_i 는 해상도 r_i 로 나뉘어 열 다섯 개의 마디로 분할되어 있다. $K=5$ 이므로, S_i 에 대해서 다섯 개의 중간변수축 ${}^i m_1, {}^i m_2, {}^i m_3, {}^i m_4, {}^i m_5$ 가 있다. 그리고, 각 중간변수축들이 분할된 마디의 수는, ${}^i N_1=3, {}^i N_2=4, {}^i N_3=4, {}^i N_4=4, {}^i N_5=4$. 여기서, ${}^i N_1=3$ 인 반면, 다음 것들에 대해서는 그 수가 하나 늘어난 ${}^i N_2={}^i N_3={}^i N_4={}^i N_5=4$ 인 사실에 주목할 필요가 있다. 이것은 중간변수축이 설정되는 CMAC의 특성에 의해, 해상도가 $r_i \cdot K$ 인 중간변수축들이 서로 입력변수축의 해상도 r_i 만큼 양의 방향으로 전위되어 있기 때문이다. 그림에서 보는 것처럼, 두 번째 층의 중간변수축 ${}^2 m_2$ 는 첫 번째 층의 중간변수축 ${}^1 m_1$ 에 대해서 입력변수축의 해상도 r_i 만큼 전위(轉位)되어 있기 때문에, 마디의 개수가 하나 늘어나서, ${}^i N_2=4$ 이다. ${}^i m_3$ 도 ${}^i m_2$ 에 대해서 전위되어 있으나, 그 전위량이 $r_i \cdot K$ 에는 미치지 못하여 여전히 ${}^i N_3=4$ 이다. 나머지에 대해서도 같은 이유로 ${}^i N_4={}^i N_5=4$. 이 그림에서, 입

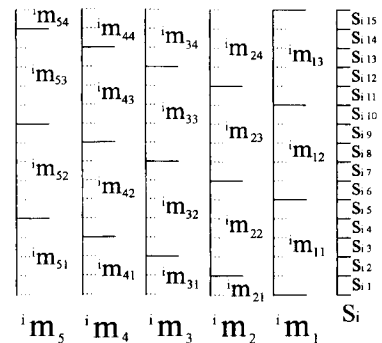


Fig. 4 An example of S → M mapping with K=5 of an input variable, S_i

력변수값 $s_{i, 8}$ 은 SM변환에 의해 ($i_{m_{12}}$, $i_{m_{23}}$, $i_{m_{33}}$, $i_{m_{42}}$, $i_{m_{52}}$)로 변환된다.

입력변수값을 SM변환하기 위한 계산공식을 설정하기 위해서는, 관계되는 모든 계산에서 나머지는 무시되는, Fortran에서 integer 계산과 같은 계산이 되도록 환경을 만드는 것이 좋다.^(14,16) 그러므로, 우선, 입력변수의 해상도 r_i 를 1로 둘 수 있도록 계산 환경을 만들어야 한다. 어떤 입력변수값 s_i 가 입력변수 위치값 $s_{i, n}$ 으로 변환되었다고 가정하자, $n \geq 1$, 즉 입력변수값 범위의 하한을 포함하는 첫 번째 마디, 즉 $n=1$ 인 입력변수 위치값을 $s_{i, 1}$ 이라 할 때, n 번째 마디에 해당하는 입력변수값이 주어졌다고 가정하자. 해상도가 1이므로, 사실은, s_i 와 $s_{i, n}$ 가 같다.

그리고, 아무 입력변수 위치값 $s_{i, n}$ 에 대한 j 번째 중간변수축에서의 중간변수 위치값 $i_{m_{j, l}}$ 는, j 번째 중간변수축에서 l_j 번째 중간변수 위치값임을 나타낸다. 첫번째 중간변수 위치값은 $i_{m_{1, l_1}}$, 여기서 l_1 은 첫 번째 중간변수축에서 l_1 번째 중간변수 위치값임을 나타낸다. 그러면, j 번째 중간변수축에서, 입력변수의 하한값을 포함하는 입력변수축의 첫 번째 마디인, 입력변수 위치값 $s_{i, 1}$ 을 변환하는 중간변수 위치값은 $i_{m_{1, l_1}}$ 로 표시되어, $l_j=1$. $s_{i, n}$ 에 대한 l_j 를 계산해 보자. 다음부터 나오는 계산은 모두, 나머지가 무시되는 정수 계산임을 주의한다.

l_1 과 l_j 는 다음 두 식으로 계산할 수 있다.

$$(1) l_1 = 1 + (n-1)/K,$$

$$(2) l_j = [2K + \{n - (j-1) - 1\}]/K, j \geq 2.$$

여기서, n 은 $s_{i, n}$ 의 n 이다. 이 공식으로 Fig. 3의 $n=6$ 에 대해서, $l_1 = 1 + (6-1)/5 = 2$. $l_2 = [2 \cdot 5 + \{6 - (2-1) - 1\}]/5 = 2$. $l_3 = l_4 = l_5 = 2$. $n=9$ 에 대해

서는, $l_1 = 1 + (9-1)/5 = 2$. $l_2 = [2 \cdot 5 + \{9 - (2-1) - 1\}]/5 = 3$. $l_3 = l_4 = 3$. $l_5 = [2 \cdot 5 + \{9 - (5-1) - 1\}]/5 = 2$. 다른 n 들에 대한 것들과 함께 Table 1에 l_j 계산결과가 있다.

위의 계산결과를 잘 관찰해 보면, n , j 및 l_j 사이에 어떤 일정한 규칙이 있음을 발견할 수 있다. 즉, 각 중간변수축마다 위의 공식 (2)를 적용하지 않고, $i_{m_{1, l_1}}$ 에 대한 l_1 만 (1)로 계산하고, 그 나머지 축들에 대해서는 새로운 규칙을 이용해서 l_j 들을 결정할 수 있다.

일반적으로 한 중간변수 위치값 $i_{m_{j, l}}$ 로 나타내지는 중간변수축의 마디에 대해서, 입력변수축의 어떤 입력변수 위치값에서부터 K 개의 연이은 위치값들이 그 중간변수 위치값으로 표시되는 마디로 변환된다. $i_{m_{1, l_1}}$ 로 변환되는 입력변수 위치값들 중에 제일 작은 위치값의 그 마디에서의 위치를 1로 할 때, $s_{i, n}$ 의 $i_{m_{1, l_1}}$ 마디에서의 상대위치는,

$$(3) l_r = n - K \cdot (l_1 - 1)$$

로 정의하여 계산할 수 있다. $i_{m_{1, l_1}}$ 의 l_1 을 (1)로 계산하고, l_r 을 (3)으로 계산한 뒤, 나머지 l_j 들은 다음과 같이 계산할 수 있음을 발견하였다.

$$(4) l_j = \begin{cases} l_1, & \text{if } l_r = 1 \\ l_1 + 1, & \text{if } 2 \leq j \leq l_r \\ l_1 & \text{if } l_r < j \leq K \end{cases}$$

Fig. 4에서, 예로, $s_{i, 5}$ 에 대해서, (1)에 의해, $i_{m_{1, l_1}}$ 에 대한 $l_1 = (5+5-1)/5 = 1$. 그래서 $s_{i, 5}$ 에 대해서 $i_{m_{1, 1}}$. 이 마디에 대한 $s_{i, 5}$ 의 상대위치는, $l_1 = 1$ 이므로, $l_r = 5 - 5 \times (1-1) = 5$. (4)에 의해, $l_2 = l_3 = l_4 = l_5 = 2$. $s_{i, 11}$ 에 대해서, (1)에서 $l_1 = 3$, (3)에서 $l_r = 11 - 5 \times (3-1) = 1$ 이고, (4)에서 $l_2 = l_3 = l_4 = l_5 = 3$.

5. 토의 및 관찰

우선, SM변환과정을 계산하는데 있어서, 모든 입력변수의 해상도를 1로 두어 정수 계산 환경으로 만드는 것이 필요하다. 실수 계산의 경우에는, 소수이하의 계산에서 계산과 표현의 오차가 생길 수 있다. 그로 인해 변환 계산에 오차가 생기면, CMAC에서는 틀린 번지의 기억장소에 기억값을 저장하고, 또 저장할 때와는 다른 번지에서 기억값을 복사해 내는 결과를 가져오게 된다.

SM변환과정을 단순한 알고리즘으로 계산할 수 있게 해주는 간단한 규칙은, 경험과 관찰에 의해서

Table 1 l_j of intermediate variable knot $i_{m_{j, l}}$ for $s_{i, n}$

$s_{i, n}$	n	l_1	l_2	l_3	l_4	l_5
$s_{i, 5}$	5	1	2	2	2	2
$s_{i, 6}$	6	2	2	2	2	2
$s_{i, 7}$	7	2	3	2	2	2
$s_{i, 8}$	8	2	3	3	2	2
$s_{i, 9}$	9	2	3	3	3	2
$s_{i, 10}$	10	2	3	3	3	3
$s_{i, 11}$	11	3	3	3	3	3

발견할 수 있었으나, 분명히 CMAC이 갖는 몇 가지 특징에 기인한 것임을 알 수 있다.⁽¹⁷⁾ 우선, 중간변수축의 중간변수 위치값으로 표현되는 대부분의 마디들이 입력변수축의 해상도보다 정확히 K 배 크게 CMAC이 설계된다는 사실이고, 두 번째로는, 각 층별 중간변수축들이 입력변수축의 해상도만큼 서로 전위되어 있는 사실이다.

$K=5$ 인 Fig. 4에서, 보통의 한 중간변수 위치값들은 어떤 범위의 다섯 입력변수 위치값들에 의해서 그 역할을 할 수 있다. 그러나, 그 전위 때문에, $'m_2$ 의 $'m_{21}$ 은 첫 번째 입력변수 위치값 s_{i_1} 에 의해서만 그 역할을 한다. 즉, 그 해상도가 입력변수 해상도와 같다고 볼 수 있다. 또한, $'m_3$ 은 $'m_{31}$ 은 입력변수 위치값 s_{i_1} 과 s_{i_2} 에 의해서만 역할을 하여, 그 해상도가 $2r_i$ 이다. 이렇게, 각 중간변수축들의 첫 중간변수 위치값으로 표현되는 마디들의 해상도가 다른 것은, $'m_{41}$ 과 $'m_{51}$ 뿐 아니라, $'m_{54}$, $'m_{44}$, $'m_{34}$ 및 $'m_{24}$ 에 대해서도 마찬가지이다. 그래서, s_{i_2} 에 대해서 $'m_1$ 에서는 l_j 가 1이고, $'m_2$ 에서는 l_j 가 2였다가, $'m_3$ 에서는 l_j 가 다시 1이 되어, $'m_{14}$, $'m_5$ 에서는 l_j 가 1이다. 이 관찰은 전위가 4절에서 논의된 양의 방향뿐 아니라 음의 방향에 대해서도 마찬가지이다.

이제 공식 (1), (3), 및 (4)에 의한 SM변환 계산의 효과를 계산시간의 관점에서 비교해 보자. 한 입력변수에 대해서, (1)로 첫 번째 중간변수축에 대한 l_1 을 계산하고, (2)로 나머지 $K-1$ 개의 중간변수축에 대해서 l_j 를 계산한다면, 나눗셈을 $K-1$ 번 해야 한다. 그러나, 나머지 $K-1$ 개의 중간변수축에 대해서 (3)과 (4)를 사용하면, 곱셈 한 번과 조건 판별을 위한 계산이 소요된다. 곱셈과 나눗셈의 계산 시간을 D 로 같다고 보고 (4)의 조건 판별에 걸리는 시간을 d 로 보면, (2)에 의한 계산시간은

$$(5) D \cdot (K-1).$$

(3)과 (4)에 의해서는

$$(6) D+d.$$

(5)와 (6)의 차이는, 하나의 입력변수에 대해서, $D \cdot (K-2) - d$ 이므로, 일반적으로 입력 공간의 차원이 N 이라 할 때,

$$(7) N[D \cdot (K-2) - d].$$

D 와 d 의 차이로 인한 (7)의 크기는, N 과 K 가 커질수록 커진다. CMAC 문제에서, 훈련 및 출력 시간이 N 의 크기에 기하학적으로 비례해서 커지는

사실을 감안하면, N 의 크기에 의한 (7)의 효과는 훨씬 더 큼을 알 수 있다.

6. 결 론

CMAC 설계에서, SM변환 계산을 위해 모든 입력변수 해상도를 1로 하여 정수 계산 환경을 만들어, 이 논문에서 기술한 입력변수 위치값과 중간변수 위치값의 개념을 활용한 (3) 및 (4)를 이용하면, CMAC의 변환과정이 단순해지고, 변환에 소요되는 계산시간은 CMAC 문제의 N 과 K 에 따라 (7)만큼 줄어든다.

이 논문에서 제시한 알고리즘은, 응용문제 이전의 CMAC 변환 과정에 대한 것이므로, 이론적으로는, 어떤 CMAC의 설계에서도 이용될 수 있다. 그러나 실제의 현장 문제에 구현하기 위해서는 응용 문제에 맞도록 시스템을 구축하여야 할 것이다. 제대로 구현이 된다면, CMAC 제어기 자체만의 계산 시간 단축과 변환 과정의 단순화 효과가 달성될 수 있을 것으로 기대한다.

본 논문에서 제시한 알고리즘은 CMAC의 정의에 기인한 특성을 관찰하여 찾아낸 것이므로, 이 알고리즘을 적용하는데 있어서, 안정성과 같은, CMAC의 제어기로서의 본질적 특성에는 아무 영향을 미치지 않는다. 그러나, 훈련을 거쳐 CMAC의 기억표에 심어질 제어함수가 충분히 부드럽지(smooth)않으면⁽¹⁸⁾ 어떤 훈련기법도 CMAC의 안정성⁽¹⁹⁾을 확보할 수 없을 것이다.

참고문헌

- (1) Albus, J.S., 1975, "A New Approach to Manipulator Control: The Cerebellar Model Articulation Controller (CMAC)," *Journal of Dynamic Systems, Measurement, and Control, Transactions of the ASME, Series G*, Vol. 97, No. 3, pp. 220 ~ 227.
- (2) Manglevedakar, S., 1986, *An Adaptive Hierarchical Model for Computer Vision*, MSME Thesis, Department of Mechanical Engineering, Louisiana State University.
- (3) Nam, Kwanghee, 1989, "A Computed Torque Method Incorporating an Iterative Learning

- Scheme," *Proceedings of '89 KACC*, pp. 1097~1112.
- (4) Kim, Hyo-Gyu and Oh, Se-Young, 1994, "Stable Neural Controller Design Based on Composite Adaptation," *Proceedings 1994 IEEE International Conference on Robotics and Automation*, pp. 3174~3179.
- (5) Nam, K. and Kuc., T., 1988, "An Application of the CMAC to Robot Control," *Proceedings of '88 KACC*, pp. 999~1005.
- (6) Park, Y.S., Jung, W.T., Kwon, S., Yoon, J.S., Lee, J.S. and Kim, H.S., 1993, "Neural Network Application to Camera-Robot Kinematic Conversion," *Proceedings on '93 ICAR, the 6th International Conference on Advanced Robotics*, Nov. 1993, Tokyo, Japan, pp. 329~332.
- (7) Saito, F. and Fukuda, T., 1994, "Learning Architecture for Real Robotic Systems-Extension of Connectionist Q-Learning for Continuous Robot Control Domain," *Proceedings 1994 IEEE International Conference on Robotics and Automation*, May, 1994, pp. 27~32.
- (8) Janabi-Sharifi, E., Fakhry, H. H. H. and Wilson, W. J., 1994, "Integration of a Robust Trajectory Planner with a Feedforward Neural Controller for Robotic Manipulators," *Proceedings 1994 IEEE International Conference on Robotics and Automation*, May, 1994, pp. 3192~3197.
- (9) Larsen, G.A., Cetinkunt, S. and Donmez, A., 1995, "CMAC Neural Network Control for High Precision Motion Control in the Presence of Large Friction," *Transactions of the ASME Journal of Dynamic Systems, Measurement, and Control*, September 1995, Vol. 117, pp. 415~420.
- (10) Shelton, R.O. and Peterson, J.K., 1992, "Controlling a truck with an adaptive critic CMAC design," *SIMULATION*, Vol. 58, No. 5, May, 1992, pp. 319~326.
- (11) 권성규, 1992, "CMAC을 위한 이웃간訓練方法," 대한기계학회논문집, 제16권, 제10호 pp. 1816~1823.
- (12) Thompson, D.E. and Kwon, S., 1995, "Neighborhood Sequential and Random Training Techniques for CMAC," *IEEE Transactions on Neural Networks*, Vol. 6, No. 1, pp. 196~202.
- (13) Miller, W.T. III, Hewes, R.P., Glanz, F.H. and Kraft, L.G. III, 1990, "Real-Time Dynamic Control of An Industrial Manipulator Using A Neural-Network-Based Learning Controller," *IEEE Transactions on Robotics and Automation*, Vol. 6, No. 1, pp. 1~9.
- (14) Brown, M. and Harris, C., 1994, *Neurofuzzy Adaptive Modelling and Control*, Prentice Hall, 1994.
- (15) Miller, W.T. III, 1994, "Real-Time Neural Network Control of a Biped Walking Robot," *IEEE Control Systems*, February, 1994, pp. 41~48.
- (16) Brodie, R. and Forth, Inc., 1987, *Starting FORTH*, 2nd Edition, Prentice-Hall, Inc., p. 102.
- (17) Albus, J.S., 1979, "A Model of the Brain for Robot Control, Part 2: A Neurological Model," *BYTE*, Vol. 4, No. 7, pp. 54~95.
- (18) Albus, J.S., 1975, "Data Storage in the Cerebellar Model Articulation Controller (CMAC)," *Journal of Dynamic Systems, Measurement, and Control, Transactions of the ASME*, Series G. Vol. 97, No. 3, pp. 228~233.
- (19) Parks, P.C. and Militzer, J., 1989, "Convergence Properties of Associative Memory Storage for Learning Control Systems," *Automation and Remote Control, a translation of Automatika i Telemekhanika*, Vol. 50, No. 2, February, Part 2, pp. 254~286.